

Topological Methods in Machine Learning

Análisis Topológico de Datos para ML

Curso corto de 6 horas

Carlos Ramírez

Escuela Politécnica Nacional

3 de diciembre de 2025

Agenda general

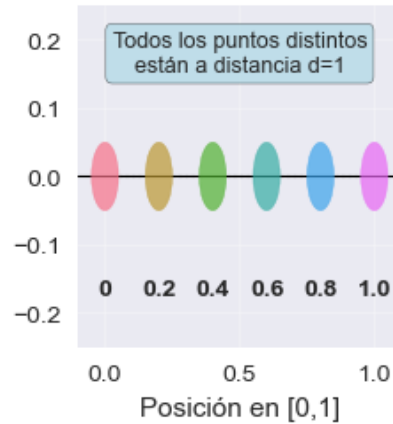
- 1 Motivación y panorama
- 2 Topología básica para TDA
- 3 Homología (visión intuitiva)
- 4 Homología persistente: idea y filtraciones
- 5 Diagramas de persistencia y distancias
- 6 De diagramas a features para ML
- 7 Aplicaciones y cierre

¿Por qué topología en Machine Learning?

- Datos modernos: altos dimensionales, no lineales, con estructura compleja.
- Los métodos clásicos (PCA, clustering estándar, etc.) capturan geometría local, pero no siempre la estructura global.
- La Topological Data Analysis (TDA) estudia:
 - Componentes conexas (0-huecos),
 - Búcles (1-huecos),
 - Cavidades (2-huecos y más).
- Objetivo del curso:
 - Entender homología persistente y Mapper.
 - Ver cómo se integran en tareas de ML.

- Pensamos un conjunto de datos X como un conjunto de puntos con noción de cercanía.
- Un **espacio métrico** (X, d) permite definir vecindades y continuidad.
- Ejemplos en TDA:
 - Nube de puntos en \mathbb{R}^N (distancia euclídea u otra).
 - Grafos: nodos vecinos \Rightarrow relación de cercanía natural.
 - Imágenes: píxeles vecinos.
- La **topología** codifica la información de vecindad, no el tamaño exacto.

Puntos Aislados en la Métrica Discreta (Cada punto es una "isla")



- Un **símplice** generaliza el concepto de triángulo:
 - 0-símplice: vértice.
 - 1-símplice: arista.
 - 2-símplice: triángulo lleno.
 - 3-símplice: tetraedro lleno, etc.
- Un **complejo simplicial** es una unión de simples que se intersectan solo en simples completos comunes.
- Son la estructura discreta sobre la que calculamos homología.

Ejemplo

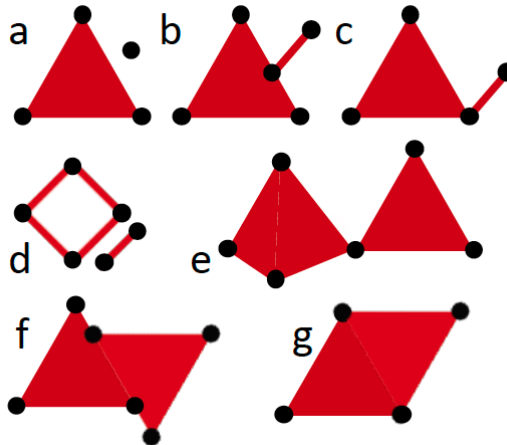


Figura: Algunos Símplices y otros que no lo son

¿Por qué la dimensión es sutil en topología?

- En topología trabajamos con una familia especial de espacios: las **variedades** (*manifolds*).
- La idea clave:

Variedad k -dimensional

Un espacio topológico donde, alrededor de cada punto, existe un vecindario que se parece (es homeomorfo) a una **bola** en \mathbb{R}^k .

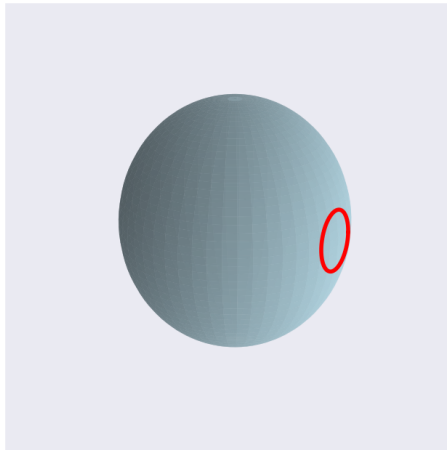
- Importante: la dimensión se decide mirando la estructura *local*, no cómo se ve el objeto en el espacio que lo contiene.

- No nos interesa el espacio ambiente (por ejemplo, \mathbb{R}^2 o \mathbb{R}^3), sino las propiedades *intrínsecas* del objeto: el “material” del que está hecho.
- Ejemplo: el **círculo**.
 - Lo dibujamos como curva cerrada en \mathbb{R}^2 .
 - Pero topológicamente es 1-dimensional: cualquier vecindario pequeño de un punto del círculo se parece a un segmento abierto de recta.
- Un modo de pensarla:
 - Una hormiga que camina sobre el círculo sólo tiene dos opciones: avanzar o retroceder; vive en un mundo 1-dimensional.

Ejemplo: la esfera como superficie 2-dimensional

- La **esfera** (la superficie de una pelota) se dibuja en \mathbb{R}^3 , pero es una variedad de dimensión 2.
- Razón: un vecindario pequeño de cualquier punto de la esfera se parece a un pedazo de plano en \mathbb{R}^2 .
- De nuevo, piensa en los “habitantes”:
 - Una hormiga que vive en la superficie de la esfera puede moverse libremente en dos direcciones independientes.
- Otros ejemplos de variedades 2-dimensionales:
 - el **toro** (un donut),
 - una superficie de género 2 (dos “agujeros”).
- Existen variedades de dimensión mayor que 3, pero es difícil visualizarlas.

Ejemplo



- Hasta ahora, las variedades no tenían borde.
- Una **variedad k -dimensional con frontera** es un espacio en el que cada punto tiene un vecindario que se parece a:
 - una bola abierta en \mathbb{R}^k (puntos interiores), o
 - una parte del **semiespacio** $\mathbb{R}_+^k = \{x \in \mathbb{R}^k \mid x_k \geq 0\}$ (puntos de la frontera).
- La **frontera** ∂M está formada precisamente por los puntos del segundo tipo.
- Localmente, cerca de la frontera, el espacio se parece a “media bola”.

- **Esfera** (superficie):
 - Es una variedad 2-dimensional *sin frontera*.
 - Una hormiga puede moverse indefinidamente sin encontrar un borde.
- **Disco unitario** $D \subset \mathbb{R}^2$:
 - Es una superficie 2-dimensional *con frontera*.
 - Su frontera es la circunferencia unitaria C .
 - Una hormiga que vive dentro del disco eventualmente llega a C , más allá no puede continuar.
- **Bola sólida** $B \subset \mathbb{R}^3$:
 - Es una variedad 3-dimensional con frontera.
 - Su frontera es la esfera S (la superficie de la pelota).

Interpretación “desde dentro”

- La frase “la esfera no tiene frontera, pero la bola sólida sí” puede parecer contraintuitiva al comienzo.
- Vista desde dentro:
 - Los habitantes de la **esfera** viven en su superficie; nunca encuentran un borde, sólo más superficie.
 - Un ratón que vive dentro de la **bola** sí encuentra un límite: la superficie es la frontera de su mundo.
- La frontera es, por tanto, un concepto intrínseco: depende del espacio donde se vive, no de cómo lo incrustamos en otro.

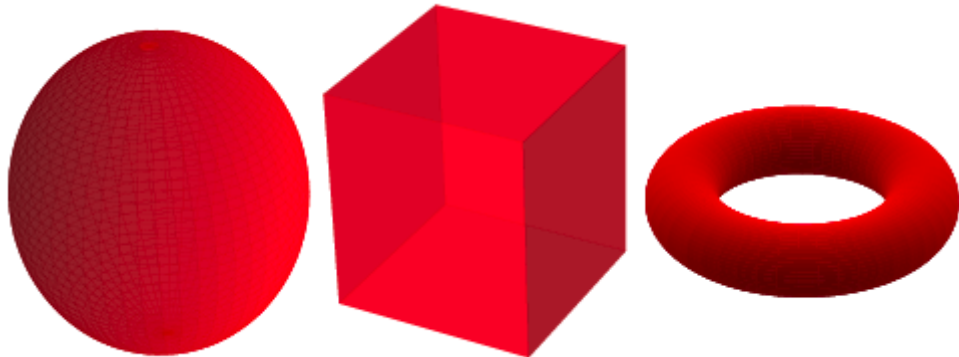
- Principio fundamental:

La frontera de la frontera es vacía

$$\partial(\partial X) = \emptyset.$$

- Además, si M es una variedad k -dimensional con frontera, entonces su frontera ∂M es, típicamente, una variedad $(k - 1)$ -dimensional *sin frontera*.
- Ejemplos:
 - Frontera del disco D (2D con frontera): la circunferencia C , que es una variedad 1D sin frontera.
 - Frontera de la bola sólida B (3D con frontera): la esfera S , que es una superficie 2D sin frontera.
- Esta relación entre dimensión y frontera será crucial al hablar de homología.

- Dos espacios son **equivalentes topológicamente** si uno se deforma continuamente en el otro (homeomorfismo).
- Ejemplo:
 - Esfera y cubo: mismos “huecos”.
 - Esfera vs toro: el toro tiene un “agujero” esencial adicional.
- **Invariantes topológicos:**
 - Número de componentes, números de Betti.
 - Característica de Euler, grupos de homología.
- La TDA usa invariantes computables sobre representaciones discretas (complejos simpliciales).



- Homología cuenta “huecos” en distintas dimensiones.
- Para un espacio X :
 - β_0 : número de componentes conexas.
 - β_1 : número de bucles esenciales (no contraíbles).
 - β_2 : número de cavidades tridimensionales, etc.
- Ejemplos:
 - Esfera: $\beta_0 = 1, \beta_1 = 0, \beta_2 = 1$.
 - Toro: $\beta_0 = 1, \beta_1 = 2, \beta_2 = 1$.
- Estos números son invariantes topológicos.



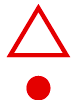
$$H_0 = 3$$
$$H_1 = 0$$



$$H_0 = 4$$
$$H_1 = 0$$



$$H_0 = 5$$
$$H_1 = 0$$



$$H_0 = 2$$
$$H_1 = 1$$



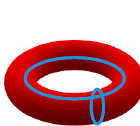
$$H_0 = 1$$
$$H_1 = 3$$



$$H_0 = 1$$
$$H_1 = 4$$



$$H_0 = 1$$
$$H_1 = 0$$
$$H_2 = 1$$

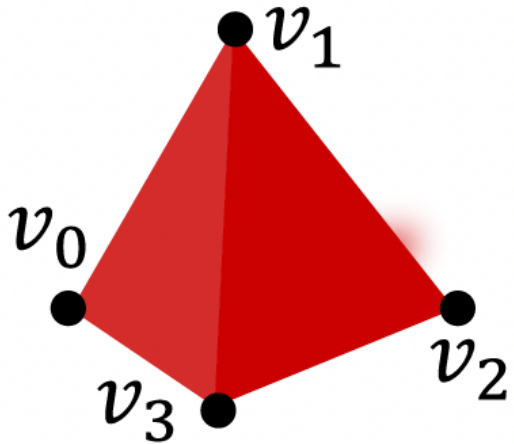


$$H_0 = 1$$
$$H_1 = 2$$
$$H_2 = 1$$



$$H_0 = 1$$
$$H_1 = 4$$
$$H_2 = 1$$

- Representamos subestructuras como combinaciones formales de simplices:
 - **cadenas** k -dimensionales: sumas de k -simplices.
- El operador borde ∂_k lleva cadenas k -dimensionales a su frontera $(k - 1)$ -dimensional.
- **Ciclos**: cadenas con borde cero ($\partial_k c = 0$).
- **Bordes**: cadenas que son borde de una cadena de dimensión superior.
- Homología $H_k = Z_k / B_k$ distingue ciclos “reales” de los que son frontera de algo.



¿Qué es la homología persistente?

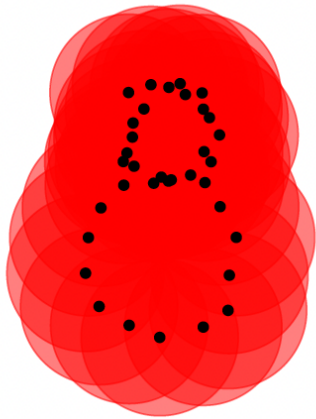
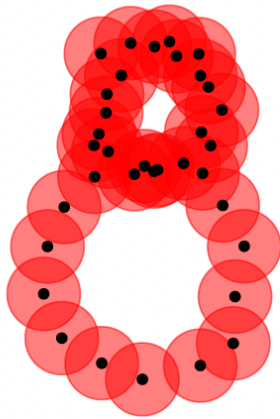
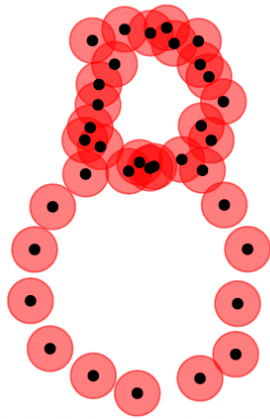
- En lugar de un solo complejo, consideramos una **filtración**:

$$K_1 \subset K_2 \subset \cdots \subset K_n.$$

- A medida que avanzamos en la filtración, aparecen y desaparecen:
 - Componentes,
 - Bucles,
 - Cavidades.
- Homología persistente registra el “tiempo de vida” de cada rasgo topológico.
- Resultado: un resumen multiescala de la forma de los datos.

Pipeline PH





Filtraciones para nubes de puntos

- Datos: nube de puntos $X = \{x_1, \dots, x_m\}$ en un espacio métrico.
- Definimos una familia de radios $\varepsilon_1 < \varepsilon_2 < \dots < \varepsilon_n$.
- Para cada ε construimos un complejo:
 - **Čech**: intersección no vacía de bolas.
 - **Rips**: todos los puntos de un simplice a distancia $\leq \varepsilon$ entre sí.
- Obtenemos una filtración de complejos simpliciales que aproxima las vecindades $N_\varepsilon(X)$.

Método 1 – Complejos de Rips

Para un conjunto de puntos $X \subset \mathbb{R}^N$ y un parámetro $r > 0$, el **complejo de Rips** (también llamado complejo de Vietoris–Rips) es el complejo simplicial abstracto $R_r(X)$, donde un k –simplice

$$\sigma = [x_{i_0}, x_{i_1}, \dots, x_{i_k}] \in R_r(X)$$

si y sólo si

$$d(x_{i_m}, x_{i_n}) < r \quad \text{para todo } 0 \leq m, n \leq k.$$

En otras palabras, para $r > 0$, si $k + 1$ puntos son mutuamente r –cercanos entre sí, entonces forman un k –simplice en $R_r(X)$.

Método 2 – Complejos de Čech

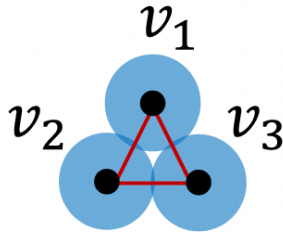
De forma similar, para un conjunto de puntos $X \subset \mathbb{R}^N$ y un parámetro $r > 0$, el **complejo de Čech** es el complejo simplicial abstracto $\check{C}_r(X)$, donde un k -símplice

$$\sigma = [x_{i_0}, x_{i_1}, \dots, x_{i_k}] \in \check{C}_r(X)$$

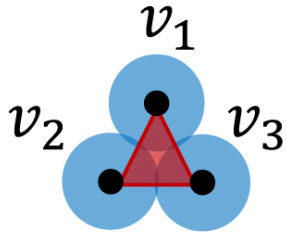
si y sólo si

$$\bigcap_{j=0}^k B_r(x_{i_j}) \neq \emptyset.$$

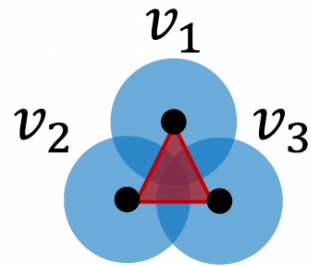
Aquí, la condición para construir un k -símplice es diferente: se exige que la intersección de las bolas de radio r de los $k + 1$ puntos sea no trivial (es decir, no vacía).



(a) Čech Complex



(b) Rips Complex



(c) Čech Complex

Enunciado

Sea X un espacio topológico y $\mathcal{U} = \{U_i\}_{i \in I}$ una familia de subconjuntos abiertos de X que forma un recubrimiento bueno, es decir, toda intersección finita no vacía de elementos de \mathcal{U} es contráctil.

Entonces el complejo simplicial nervio $N(\mathcal{U})$ tiene el mismo tipo de homotopía que X . En particular, X y $N(\mathcal{U})$ son homotópicamente equivalentes.

Definición

El *nervio* $N(\mathcal{U})$ del recubrimiento \mathcal{U} es el complejo simplicial cuyas vértices son los conjuntos U_i , e incluye un simplex $[U_{i_0}, \dots, U_{i_k}]$ siempre que la intersección

$$U_{i_0} \cap \cdots \cap U_{i_k} \neq \emptyset.$$

Maquinaria de HP para nubes de puntos con complejos de Rips

Algorithm 1 Maquinaria de homología persistente para nubes de puntos con complejos de Rips

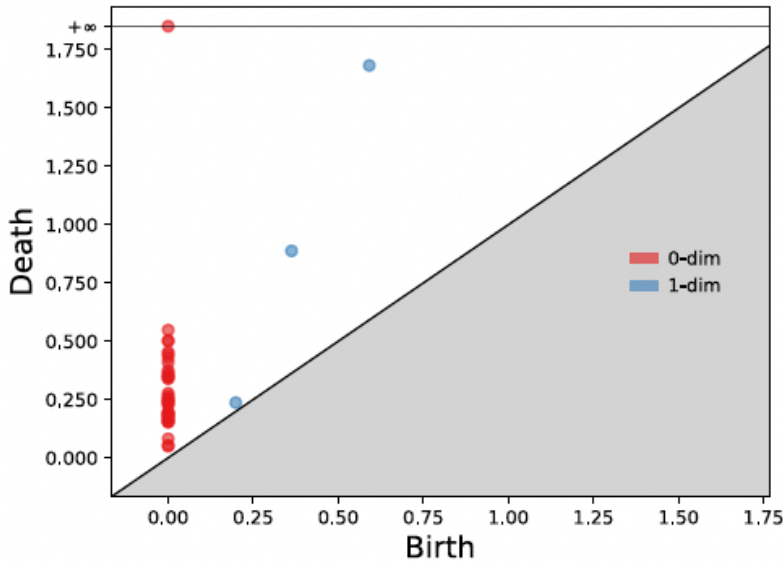
Input: Nube de puntos P , métrica de distancia d , conjunto de umbrales $\{\varepsilon_i\}_{i=0}^n$

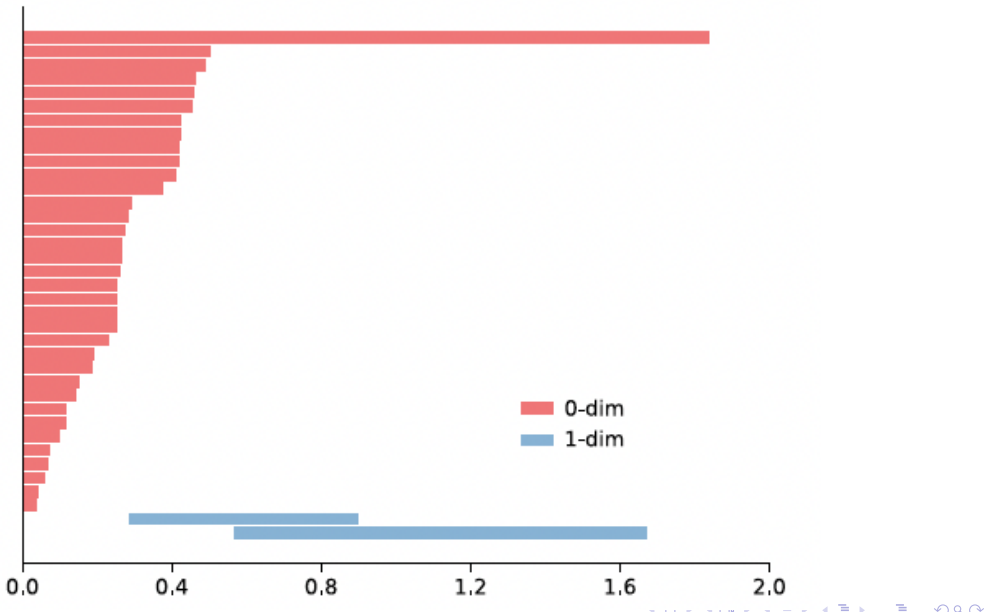
```
1: Output: Vector topológico  $\vec{\beta}(P, d, \{\varepsilon_i\})$ 
2:  $V \leftarrow \{v \in P\}$                                 ▷ el conjunto de vértices no cambia con la filtración
3: for  $i = 0$  hasta  $n$  do                      ▷ índice de filtración
4:    $E_i \leftarrow \{(u, v) \mid u, v \in P \text{ y } d(u, v) \leq \varepsilon_i\}$     ▷ aristas con distancia  $\leq \varepsilon_i$ 
5:    $\mathcal{R}_i \leftarrow (V, E_i)$                       ▷ complejo de Rips en  $\varepsilon_i$ 
6: end for
7: for  $k = 0$  hasta 1 do                  ▷ dimensiones topológicas
8:   Calcular el diagrama de persistencia  $PD_k(\{\mathcal{R}_i\}_{i=0}^n)$ 
9:   Obtener la vectorización  $\vec{\beta}_k$  a partir de  $PD_k(\{\mathcal{R}_i\}_{i=0}^n)$ 
10: end for
11: return Concatenación de  $\vec{\beta}_0$  y  $\vec{\beta}_1$ , denotada como  $\vec{\beta}(P, d, \{\varepsilon_i\}) = \vec{\beta}_0 \parallel \vec{\beta}_1$ 
```

- **Imágenes:**
 - Complejos cúbicos o subnivel de una función de intensidad.
 - Umbrales crecientes: aparecen y desaparecen componentes y agujeros.
- **Grafos:**
 - Complejos de cliques (clique complexes) a partir de un grafo ponderado.
 - Filtraciones por peso: se añaden aristas y cliques conforme baja un umbral.
- En todos los casos: filtración = *versión multiescala* de los datos.

Diagramas de persistencia

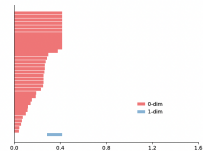
- Para cada clase de homología registramos:
 - **nacimiento**: nivel de la filtración donde aparece.
 - **muerte**: nivel donde deja de existir.
- Representación gráfica:
 - Plano nacimiento–muerte, cada punto es un “hueco”.
 - Puntos cerca de la diagonal: ruido.
 - Puntos lejos de la diagonal: estructura relevante.
- Un diagrama por dimensión k (componentes, bucles, cavidades).



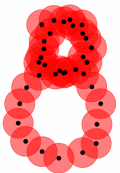




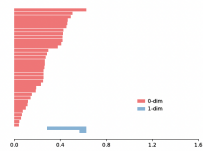
(a) $\epsilon = 0.4$



(b) PB up to $\epsilon = 0.4$



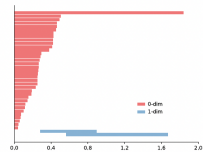
(c) $\epsilon = 0.7$



(d) PB up to $\epsilon = 0.7$



(e) $\epsilon = 2$



(f) Persistence barcode

Distancias entre diagramas

- Para comparar datasets usamos distancias entre diagramas.
- Distancias comunes:
 - **bottleneck**,
 - **Wasserstein**.
- Intuición:
 - Se busca un “emparejamiento” entre puntos de dos diagramas que minimice el costo global.
- Propiedad importante: estabilidad frente a perturbaciones pequeñas en los datos.

Distancia de Wasserstein entre diagramas de persistencia

Sean $PD(X^+)$ y $PD(X^-)$ los diagramas de persistencia de X^+ y X^- (omitimos dimensiones). Denotamos

$$PD(X^+) = \{q_j^+\} \cup \Delta, \quad PD(X^-) = \{q_l^-\} \cup \Delta,$$

donde Δ es la diagonal (ciclos triviales) con multiplicidad infinita, y $q_j^\pm = (b_j^\pm, d_j^\pm)$.

Sea $\varphi : PD(X^+) \rightarrow PD(X^-)$ una biyección. La presencia de Δ garantiza que existan biyecciones incluso si $|\{q_j^+\}| \neq |\{q_l^-\}|$.

La **distancia de Wasserstein de orden p** , \mathcal{W}_p , se define como

$$\mathcal{W}_p(PD(X^+), PD(X^-)) = \min_{\varphi} \left(\sum_j \|q_j^+ - \varphi(q_j^+)\|_p^p \right)^{1/p}, \quad p \in \mathbb{Z}^+.$$

Donde:

$$\|(x_1, y_1) - (x_2, y_2)\|_\infty = \max \{|x_1 - x_2|, |y_1 - y_2|\}$$

es la norma supremo. Cuando $p = \infty$, obtenemos la **distancia bottleneck**:

$$\mathcal{W}_\infty(PD(X^+), PD(X^-)) = \min_{\varphi} \max_j \|q_j^+ - \varphi(q_j^+)\|_\infty.$$

- Para usar TDA en ML necesitamos vectores de dimensión fija.
- Estrategias:
 - **Imágenes de persistencia:** discretizar el plano nacimiento–muerte en píxeles.
 - **Landscapes y silhouettes:** funciones que resumen el diagrama.
 - **Kernels** sobre diagramas: entradas para SVM u otros métodos kernel.
- Elección de parámetros (resolución, rango de ejes) afecta el desempeño.

- **Pipeline clásico:**

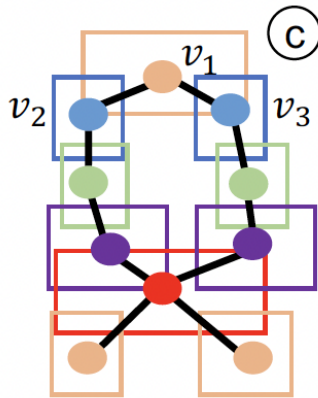
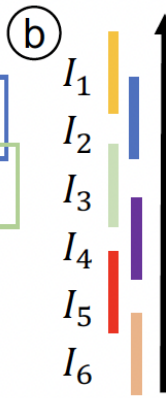
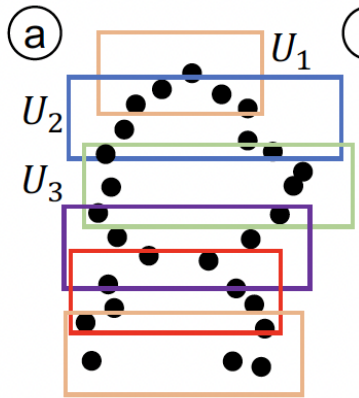
Datos → Filtración → Diagramas → Vectorización → Modelo ML

- Uso con:
 - Clasificación, regresión, clustering.
 - Redes neuronales (capas especializadas para diagramas).
- Ventaja: capturar estructura global que otros métodos no ven.

Idea del algoritmo Mapper

- Entrada: nubes de puntos (o datos con métrica) y una función “filtro”.
- Pasos básicos:
 - ① Elegir un filtro (por ejemplo, proyección PCA, densidad, etc.).
 - ② Cubrir el rango del filtro con intervalos solapados.
 - ③ Para cada intervalo:
 - tomar los puntos que caen en la preimagen,
 - aplicar un método de clustering local.
 - ④ Construir un grafo: nodos = clusters, aristas = intersección no vacía de clusters.
- Resultado: un grafo que resume la forma global de los datos.

- Elecciones importantes:
 - Filtro: qué función resalta mejor la estructura de interés.
 - Número de intervalos y grado de solapamiento.
 - Algoritmo de clustering y su escala (por ejemplo, k -means, DBSCAN).
- Interpretación:
 - Componentes del grafo, ramas, ciclos.
 - Relacionar regiones del grafo con etiquetas o variables externas.



Algorithm 2 Construcción de nodos

Require: $X, f : X \rightarrow \mathbb{R}$, cubrimiento $\mathcal{I} = \{I_k\}$

Ensure: Conjunto de nodos V

- 1: Inicializar $V \leftarrow \emptyset$
 - 2: Calcular $f(X)$
 - 3: **for** cada $I_k \in \mathcal{I}$ **do**
 - 4: $U_k \leftarrow \{x \in X \mid f(x) \in I_k\}$
 - 5: Clusters $\{C_i\} \leftarrow$ agrupar(U_k)
 - 6: Crear nodo v_i para cada cluster C_i
 - 7: $V \leftarrow V \cup \{v_i\}$
 - 8: **end for**
 - 9: **return** V
-

Algorithm 3 Construcción de aristas

Require: Conjunto de nodos V con clusters asociados $\{C_i\}$

Ensure: Grafo $G = (V, E)$

```
1: Inicializar  $E \leftarrow \emptyset$ 
2: for cada par  $v_i, v_j \in V$  do
3:   if  $C_i \cap C_j \neq \emptyset$  then
4:      $E \leftarrow E \cup \{(v_i, v_j)\}$ 
5:   end if
6: end for
7:  $G \leftarrow (V, E)$ 
8: return  $G$ 
```

- **Nubes de puntos:** reconocimiento de formas y análisis de geometría.
- **Grafos de transacciones:** detección de anomalías en criptomonedas.
- **Imágenes médicas:** diagnóstico de cáncer en imágenes histopatológicas.
- **Descubrimiento de fármacos:** análisis topológico de espacios químicos.
- **Genómica:** genotipado de cáncer con Mapper sobre datos de RNA-seq.

Bibliotecas de software para homología persistente

En la columna **Datos**, **P** indica soporte para nubes de puntos (Point cloud), **I** para datos de imagen (Image) y **N** para datos de red (Network/grafo).

Biblioteca	Datos	Lenguaje	Característica notable	URL del código
Giotto-TDA	P,N,I	Python	Integración con Scikit	https://github.com/giotto-ai/giotto-tda
Gudhi	P,I	C++/Python	Bien establecida	https://github.com/GUDHI/gudhi-devel
Dionysus2	P	C++/Python	Tipos de persistencia	https://github.com/mrzv/dionysus
Ripser.py	P	Python	Integración con Scikit-TDA	https://github.com/scikit-tda/ripser.py
Ripser	P	C++	Ejecutable independiente	https://github.com/Ripser/ripser
JavaPLEX	P	Matlab/Java	Bien establecida	https://github.com/appliedtopology/javaplex
TDA	P	R	Integración con el ecosistema de R	https://cran.r-project.org/package=TDA
PHAT	P	Python/C++	Bien establecida	https://bitbucket.org/

- TDA aporta una visión global de la estructura de los datos.
- Homología persistente y Mapper son herramientas clave.
- Integración natural con ML: extracción de características topológicas + modelos clásicos o profundos.
- Preguntas abiertas: escalabilidad, automatización de hiperparámetros, interpretabilidad.

Pueden consultar el código y diapositivas aquí: github.com/cero1979/Repositorio

Bibliografía notable en Análisis Topológico de Datos

- G. Carlsson, “Topology and data”, *Bull. Amer. Math. Soc.* **46** (2009), 255–308.
- H. Edelsbrunner, J. L. Harer, *Computational Topology: An Introduction*, American Mathematical Society, 2010.
- A. Zomorodian, G. Carlsson, “Computing persistent homology”, *Discrete & Computational Geometry* **33** (2005), 249–274.
- R. Ghrist, “Barcodes: The persistent topology of data”, *Bull. Amer. Math. Soc.* **45** (2008), 61–75.
- F. Chazal, V. de Silva, M. Glisse, S. Oudot, *The Structure and Stability of Persistence Modules*, Springer, 2016.
- S. Oudot, *Persistence Theory: From Quiver Representations to Data Analysis*, American Mathematical Society, 2015.
- T. K. Dey, Y. Wang, *Computational Topology for Data Analysis*, Cambridge University Press, 2022.